

# 聚乙烯醇降解菌的筛选与降解条件优化

李坤<sup>1</sup>, 李江华<sup>\*1,3</sup>, 刘龙<sup>1,3</sup>, 堵国成<sup>1,2,3</sup>, 陈坚<sup>1,2,3</sup>

(1. 江南大学 生物工程学院, 江苏 无锡 214122; 2. 江南大学 粮食发酵工艺与技术国家工程实验室, 江苏 无锡 214122; 3. 江南大学 工业生物技术教育部重点实验室, 江苏 无锡 214122)

**摘要:**为了实现纺织工业废水中 PVA1799 的生物降解,从纺织印染厂区筛选到一个能快速降解培养基中 PVA1799 的混合菌系,命名为 SH-TD。从中分离出 3 株纯培养菌株,分别命名鉴定为 SH1 (*Aeromonas* sp.), TD5 (*Pseudomonas* sp.), TD33 (*Acinetobacter* sp.)。通过对含 PVA1799 出发培养基进行单因素及 Plackett–Burman 实验筛选出三个对 PVA1799 降解有显著影响的因素分别为 Yeast–Extract、 $(\text{NH}_4)_2\text{HPO}_4$ 、 $\text{CaCl}_2 \cdot 2\text{H}_2\text{O}$ 。然后进行最陡爬坡实验逼近最佳响应面区域,最后通过 Box–Behnken 设计,利用 Design–Expert 软件进行回归分析,得到各因素的最佳质量浓度组成为(g/L):Yeast–Extract 0.04、 $(\text{NH}_4)_2\text{HPO}_4$  48.42、 $\text{BaCl}_2$  0.06。在最优条件下,24 h PVA 降解率从原先的 30% 提高到 80%。

**关键词:**聚乙烯醇;混合菌系;生物降解;响应面法

中图分类号:TQ 92 文献标志码:A 文章编号:1673—1689(2015)08—0835—07

## Screening of PVA–Degrading Strains and Optimization of Degradation Conditions

LI Kun<sup>1</sup>, LI Jianghua<sup>\*1,3</sup>, LIU Long<sup>1,3</sup>, DU Guocheng<sup>1,2,3</sup>, CHEN Jian<sup>1,2,3</sup>

(1. School of Biotechnology, Jiangnan University, Wuxi 214122, China; 2. National Engineering Laboratory for Cereal Fermentation Technology, Jiangnan University, Wuxi 214122, China; 3. Key Laboratory of Industrial Biotechnology, Ministry of Education, Jiangnan University, Wuxi 214122, China)

**Abstract:** In order to achieve the biodegradation of PVA1799 in the textile industrial waste water, an bacteria mixture with efficient degradation was screened and named as SH-TD. Three strains with PVA-degrading ability were isolated from the mixed culture SH-TD and nasmed as SH1 (*Aeromonas* sp.), TD5 (*Pseudomonas* sp.), and TD33 (*Acinetobacter* sp.), respectively. The results from the single factor and Plackett-Burman experiments showed that Yeast-Extract,  $(\text{NH}_4)_2\text{HPO}_4$  and  $\text{BaCl}_2$  constituents have the significant influence on PVA degrading rate. Through ascent and Box-Behnken experiments, a response surface methodology (RSM) model was constructed. Data were analyzed by use of Design-Expert software. The optimal concentrations (g/L)of the variables were determined as (g/L): Yeast-Extract 0.04,  $(\text{NH}_4)_2\text{HPO}_4$  48.42,  $\text{BaCl}_2$  0.06. Under the optimal

收稿日期: 2014-02-19

基金项目: 国家 863 计划项目(2012 AA022202)。

\* 通信作者: 李江华(1966—),男,江西九江人,工学博士,教授,博士研究生导师,主要从事酶技术、发酵过程优化与控制方面的研究。

E-mail: lijianghua@jiangnan.edu.cn

conditions, the PVA degradation rate after 24 h increased from 30% to 80%.

**Keywords:** polyvinyl alcohol, mixed bacteria, biodegradation, response surface methodology

聚乙烯醇(Polyvinyl alcohol, 简称PVA),是目前已发现的惟一具有水溶性且无毒的高聚物<sup>[1]</sup>,具有很多优良的物理性质,如高粘度、成膜性、乳化性、拉伸性、对水、油脂和有机溶剂均有抵抗性等。基于以上特性,PVA 广泛应用于粘合剂、涂料、乳化剂、造纸和纺织等行业,工业上通常通过聚醋酸乙烯酯经过皂化反应制取<sup>[2]</sup>。PVA 的生化性较差( $BOD / COD = 0.07$ ),在许多工业废水中含有大量的PVA,直接排放会对环境带来了极大的污染<sup>[3]</sup>。1973年日本科学家 Suzuki 首次分离到可以单独降解PVA 的 *Pseudomonas* O-3<sup>[4]</sup>,随后几十年里国内外进行了大量的PVA 降解微生物的筛选、酶基因的克隆等工作<sup>[5-9]</sup>。目前已正式报道的PVA 降解酶包含三个种类<sup>[10]</sup>:PVA 氧化酶(仲醇氧化酶)(EC 1.1.3.30)、PVA 脱氢酶(EC 1.1.99.23) 和氧化型PVA 水解酶(β-双酮水解酶)(EC 3.7.1.7)。近年还发现了专一性比较强的降解低醇解度PVA 长链上残存乙酸酯键的PVA 酶<sup>[11]</sup>。然而大部分报道菌种都存在培养周期长,酶活低等缺点。所克隆出来的PVA 脱氢酶更是由于其在作用时需要昂贵的吡咯喹啉醌(PQQ)作为电子受体而在工业生产中具有很大的局限性,而PVA 氧化酶则由于难以纯化而至今未能被克隆。因此分离筛选新的PVA 降解微生物尤其是具有PVA 氧化酶活性的菌株具有十分重要的意义。

作者从纺织厂、印染厂等废水、土壤及活性污泥中筛选出1株高效降解PVA1799的混合菌系,并从中分离出3种纯培养物,通过对所得混菌体系降解PVA 的培养基设计响应面优化实验,大大提高了PVA 降解酶的产率,缩短了降解时间,为进一步深入研究该混合菌中的PVA 降解酶的种类及降解机理提供了基础。

## 1 材料与方法

### 1.1 材料

**1.1.1 样品来源** 取自无锡太平洋和军达纺织厂等地的废水、土壤及活性污泥。PVA1799(聚合度

1 700, 醇解度 99%):由江南大学纺织服装学院提供。

### 1.1.2 培养基

1)富集培养基 P-Y (g/L):PVA1799 1, Yeast-Extract 0.1,  $(NH_4)_2SO_4$  0.5,  $KH_2PO_4$  0.02,  $K_2HPO_4$  1.6,  $MgSO_4 \cdot 7H_2O$  0.05,  $FeSO_4 \cdot 7H_2O$  0.02,  $CaCl_2 \cdot 2H_2O$  0.01,  $NaCl$  0.02; pH 7.5。

2)鉴定培养基 P-Y (g/L):PVA1799 1, Yeast-Extract 0.1,  $(NH_4)_2SO_4$  0.5,  $KH_2PO_4$  0.02,  $K_2HPO_4$  1.6,  $MgSO_4 \cdot 7H_2O$  0.05,  $FeSO_4 \cdot 7H_2O$  0.02,  $CaCl_2 \cdot 2H_2O$  0.01,  $NaCl$  0.02, 琼脂粉 20;pH 7.5。待平板长出菌落后倾入 15 mL 碘-硼酸试剂,避光反应 10 min, 观察菌落周围透明圈的产生情况。

3)种子培养基 P-TY:20% LB, P-Y。

4)起始发酵培养基 P-Y:同富集培养基。

### 1.2 筛选及培养方法

**1.2.1 菌株筛选与鉴定** 将样品用无菌生理盐水悬浮,取上清液用富集培养基过夜培养,梯度稀释至合适浓度,涂布于鉴定培养基平板,30 °C培养 3 d。显色后,挑取有透明圈菌落在鉴定培养基平板上进行多次划线分离,直至得到纯培养菌株即为初筛菌株。接种初筛菌株于种子培养基中培养 18 h,取 3 OD<sub>600</sub> 种子液离心无菌重悬接种发酵培养基 P-Y 中传代驯化并测定 PVA 含量。

观察目的菌株菌落形态、镜检并进行革兰氏染色实验,提取其 16S rDNA 并测序,在 NCBI 上比对所得测序结果将纯菌鉴定到属 (<http://www.ncbi.nlm.nih.gov/>)。

**1.2.2 种子培养** 从甘油管中取 50 μL 菌液于接入装有 20 mL P-TY 培养基的 250 mL 三角瓶,并在 30 °C、200 r/min 下培养 18 h。

**1.2.3 发酵培养** 250 mL 三角瓶装液量 20 mL,接种量 3 OD,30 °C、200 r/min 培养测定 PVA 降解率及 PVA 降解酶总酶活。

**1.2.4 粗酶液制备** 取发酵培养液,10 000 r/min 离心 8 min,所得上清液即为粗酶液组分 1。去上清菌体,加等体积的 20 mmol/L, pH 7.5 PBS 缓冲液重

悬后超声波(400 W)处理20 min,其中破碎3 s暂停1 s,破壁后10 000 r/min离心8 min,所得上清液即为粗酶液组分2。混合组分1、2即为粗酶液。

### 1.3 分析方法

**1.3.1 菌浓测定** 取发酵液稀释至合适的吸光度范围在600 nm处测定其吸光度。

**1.3.2 PVA浓度的测定** 改良的Finley法<sup>[12]</sup>。取400 μL发酵上清液加入10 mL具塞比色管,加入3 mL、25 g/L硼酸溶液,最后加300 μL 0.1 mol/L I2-KI溶液,用去离子水定容至10 mL,避光反应10 min,以水替换发酵上清液作为空白对照,以发酵前培养基作为标准对照,1 cm光程690 nm波长下测定吸光度。

$$\text{PVA 降解率} (\%) = \frac{\text{PVA}_{\text{发酵前 OD690}} - \text{PVA}_{\text{发酵后 OD690}}}{\text{PVA}_{\text{发酵前 OD690}}} \times 100\%$$

**1.3.3 PVA降解酶总酶活** 取粗酶液2 mL,加入15 mL离心管中,与溶解在pH 7.5、20 mmol/L PBS缓冲液中的2 g/L PVA溶液均匀混合,于30 °C下振荡保温5 h。分别测定反应前后混合液在690 nm下的吸光度,每分钟吸光度下降0.001定义为一个酶活单位(U)<sup>[8]</sup>。

### 1.4 培养基优化<sup>[13]</sup>

摇瓶培养基优化策略选用响应面优化,以单因素实验确定最优氮源,通过Plackett-Burman实验找出对PVA降解有显著影响的因素,挑选具有显著效应的因素进行最陡爬坡实验,然后通过爬坡实验确定中心组合实验的中心点,最后进行中心组合实验。使用Design-Expert软件对实验结果进行统计分析。

## 2 结果与分析

### 2.1 菌种筛选与鉴定

将从纺织印染厂采集来的土样、活性污泥样等用生理盐水重悬、静置后取上层清液用富集培养基P-Y培养基于200 r/min、30 °C培养,期间间断取样测定PVA浓度的变化,每次富集时间6 d。经过3次循环富集驯化,得到一个能在4 d内降解P-Y培养基中全部PVA的混合菌体系,命名为SH-TD,这也是本研究后期工作的研究对象。对混合菌系稀释合适的梯度涂布分离鉴定平板,经Finley法显色后,挑取有透明圈的菌落多次在鉴定培养基上反复划线纯化,得到了3个菌落形态不同的纯菌落,分别命名为SH1、TD5、TD33,图1为TD5透明圈图。以三株菌的基因组为模板,以27F、1492R通用引物PCR分别得到其16S rDNA序列,测序后分别在NCBI上进行比对,三株纯菌分别鉴定为Aeromonas sp.,Pseudomonas sp.,Acinetobacter sp.,对3株菌构建系统发育树,见图2。



图1 TD5菌落形态及透明圈

Fig. 1 Colonial morphology and transparent circle of TD5

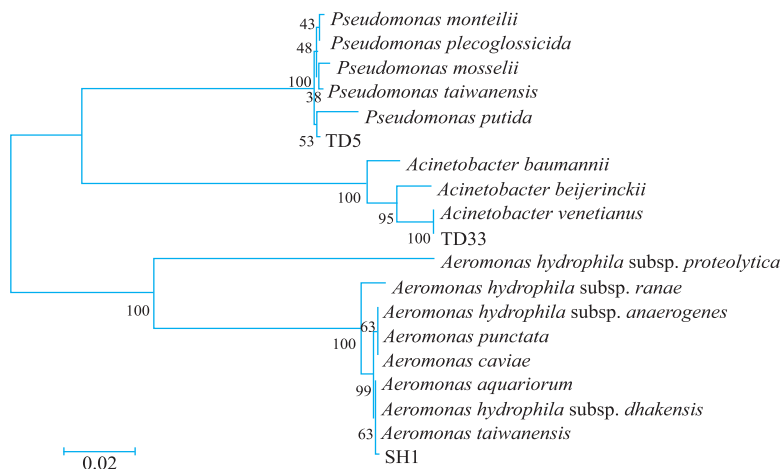


图2 3株PVA降解菌的系统发育树

Fig. 2 Phylogenetic tree of three isolated PVA-degrading bacterium

## 2.2 单因素实验

在去除氮源的 P-Y 中,添加不同的氮源(有机氮源和无机氮源,控制每种氮源的含氮量均为 0.2 g/L),探究不同氮源对 PVA 降解及产酶的影响。添加的有机氮源分别为 Yeast-Extract、蛋白胨和牛肉膏;添加的无机氮种类分别为  $(\text{NH}_4)_2\text{SO}_4$ 、 $\text{NH}_4\text{Cl}$ 、 $(\text{NH}_4)_2\text{HPO}_4$ 、 $\text{CH}_3\text{COONH}_4$ 、 $(\text{NH}_4)_2\text{C}_2\text{O}_4$ 、柠檬酸三铵、 $\text{NH}_4\text{HCO}_3$ 。每种氮源做三个平行,培养 48 h,测定各处理中 PVA 的浓度。由图 3 可见, $(\text{NH}_4)_2\text{HPO}_4$  为最优氮源。

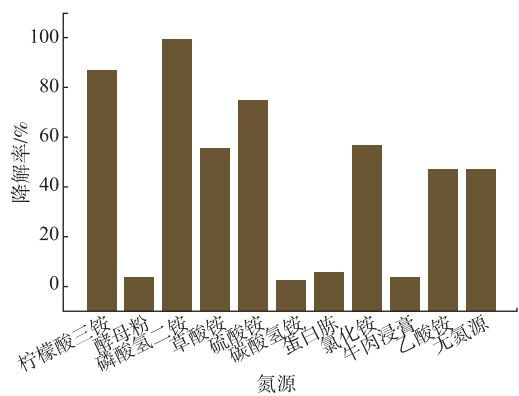


图 3 不同种类氮源对 PVA 降解率的影响(48 h)

Fig. 3 Effects of different nitrogen sources on enzyme activity (48 h)

## 2.3 Plackett–Burman 实验

作者选用实验次数  $N=12$  的 Plackett–Burman 实验设计,对 8 个因素进行考察,分别为 Yeast-Extract,  $(\text{NH}_4)_2\text{HPO}_4$ ,  $\text{KH}_2\text{PO}_4$ ,  $\text{K}_2\text{HPO}_4$ ,  $\text{MgSO}_4 \cdot 7\text{H}_2\text{O}$ ,  $\text{FeSO}_4 \cdot 7\text{H}_2\text{O}$ ,  $\text{CaCl}_2 \cdot 2\text{H}_2\text{O}$ ,  $\text{NaCl}$ 。每个因素分两个水平,高水平取低水平的 1.5 倍,响应值为培养 12 h 后培养基中 PVA 的降解率(%)。实验设计及结果见表 1,利用 Design-Expert 软件对 Plackett–Burman 实验各因素主效应分析的结果见表 2。由表 2 可知, Yeast-Extract、 $(\text{NH}_4)_2\text{HPO}_4$ 、 $\text{CaCl}_2 \cdot 2\text{H}_2\text{O}$  和  $\text{KH}_2\text{PO}_4$  这四个因素的可信度都在 95% 以上,其余四个因素的可信度均低于 95%,同时考虑到在进行响应面分析时,因素超过 3 个会使实验次数显著增加,而在以上 4 个显著因素中,  $\text{K}_2\text{HPO}_4$  的影响相对差一些,而且  $\text{CaCl}_2 \cdot 2\text{H}_2\text{O}$  可能与 PVA 降解的吸附降解机理有关。因此确定 Yeast-Extract、 $(\text{NH}_4)_2\text{HPO}_4$ 、 $\text{CaCl}_2 \cdot 2\text{H}_2\text{O}$  为主要影响因素进行下一步实验。

## 2.4 爬坡实验

根据 Plackett–Burman 的结果确定下一步实验的最陡爬坡路径。通过 PB 实验分析可知, Yeast-Extract 有负效应,应减少; $(\text{NH}_4)_2\text{HPO}_4$ 、 $\text{CaCl}_2 \cdot 2\text{H}_2\text{O}$  有显著正效应,应增加。根据这三个因素效应大小

表 1 Plackett–Burman 实验设计和响应值

Table 1 Plackett–Burman experiment design and its response

序号	$X_1$	$X_2$	$X_3$	$X_4$	$X_5$	$X_6$	$X_7$	$X_8$	$X_9$	$X_{10}$	$X_{11}$	$Yd/\%$
1	-1	1	-1	1	1	-1	1	1	1	-1	-1	27.20
2	-1	-1	-1	1	-1	1	1	-1	1	1	1	25.01
3	1	-1	1	1	1	-1	-1	-1	1	-1	1	20.50
4	1	1	1	-1	-1	-1	1	-1	1	1	-1	25.09
5	1	1	-1	-1	-1	1	-1	1	1	-1	1	26.36
6	-1	1	1	1	-1	-1	-1	1	-1	1	1	26.18
7	1	-1	-1	-1	1	-1	1	1	-1	1	1	25.67
8	-1	-1	-1	-1	-1	-1	-1	-1	-1	-1	-1	26.26
9	1	-1	1	1	-1	1	1	1	-1	-1	-1	21.50
10	1	1	-1	1	1	1	-1	-1	-1	1	-1	25.58
11	-1	1	1	-1	1	1	1	-1	-1	-1	1	27.58
12	-1	-1	1	-1	1	1	-1	1	1	1	-1	25.06

表 2 Plackett–Burman 实验因素水平及其主效应分析

Table 2 Levels of variable and analysis of the main effect for Plackett–Burman

变量		水平		<i>p</i> -value> <i>F</i>	显著性顺序
符号	因素	-1	1		
$X_1$	Yeast–Extract	0.1	0.15	0.020 0	2
$X_2$	$(\text{NH}_4)_2\text{HPO}_4$	10	15	0.015 0	1
$X_3$	$\text{CaCl}_2 \cdot 2\text{H}_2\text{O}$	0.01	0.015	0.035 3	3
$X_4$	$\text{K}_2\text{HPO}_4$	1	1.5	0.036 4	4
$X_5$	$\text{MgSO}_4 \cdot 7\text{H}_2\text{O}$	0.1	0.15	0.696 6	7
$X_6$	$\text{FeSO}_4 \cdot 7\text{H}_2\text{O}$	0.01	0.015	0.946 3	8
$X_7$	$\text{KH}_2\text{PO}_4$	0.01	0.015	0.502 0	5
$X_8$	NaCl	0.1	0.15	0.533 0	6

的比例设定它们的变化方向以及步长,其他五个因素分别取各自的低水平进行实验,实验设计及结果见表3。从结果来看,最佳因素的质量浓度处于第8组和第9组之间,故以第8组条件为后续实验的中心点进行响应面分析。

表 3 爬坡实验设计及结果

Table 3 Experimental design and result of ascent

实验序号	Yeast–Extract 质量浓度/(g/L)	$(\text{NH}_4)_2\text{HPO}_4$ 质量浓度/(g/L)	$\text{CaCl}_2 \cdot 2\text{H}_2\text{O}$ 质量浓度/(g/L)	<i>Yd</i> /%
1	0.10	10	0.010	35.54
2	0.09	15	0.015	37.29
3	0.08	20	0.020	38.43
4	0.07	25	0.025	39.12
5	0.06	30	0.030	41.61
6	0.05	35	0.035	43.25
7	0.04	40	0.040	47.34
8	0.03	45	0.045	53.23
9	0.02	50	0.050	51.21
10	0.01	55	0.055	45.24

## 2.5 响应面分析重要因素的最优质量浓度水平

**2.5.1 二次回归模型拟合及方差分析** 根据 Plackett–Burman 实验确定了影响 PVA 降解速率即产酶的主要因素,Box–Behnken 实验各因素水平见表4,实验设计及结果见表5。

表 4 Box–Behnken 实验因素水平

Table 4 Experimental variables and levels for BB design

变量名称	符号	水平		
		-1	0	1
Yeast–Extract 质量浓度/(g/L)	$X_1$	0.01	0.03	0.05
$(\text{NH}_4)_2\text{HPO}_4$ 质量浓度/(g/L)	$X_2$	10	45	80
$\text{CaCl}_2 \cdot 2\text{H}_2\text{O}$ 质量浓度/(g/L)	$X_3$	0.01	0.045	0.08

表 5 BB 实验设计与结果

Table 5 Design and results of BB experiment

实验序号	Yeast–Extract 质量浓度/(g/L)	$(\text{NH}_4)_2\text{HPO}_4$ 质量浓度/(g/L)	$\text{CaCl}_2 \cdot 2\text{H}_2\text{O}$ 质量浓度/(g/L)	<i>Yd</i> /%
1	0.03	10	0.01	0.525 0
2	0.05	45	0.01	0.630 4
3	0.03	45	0.04	0.797 1
4	0.01	80	0.04	0.563 0
5	0.01	45	0.01	0.674 5
6	0.03	45	0.04	0.798 9
7	0.01	10	0.04	0.570 5
8	0.03	45	0.04	0.789 7
9	0.05	45	0.08	0.630 9
10	0.05	10	0.04	0.515 8
11	0.05	80	0.04	0.515 5
12	0.03	80	0.01	0.550 2
13	0.03	10	0.08	0.513 7
14	0.03	45	0.04	0.799 2
15	0.03	80	0.08	0.540 2
16	0.03	45	0.04	0.785 0
17	0.01	45	0.08	0.592 9

以 *Yd* 为响应值,根据表5中 Box–Behnken 设计的实验结果,利用 Design–Expert 软件对其结果进行二次回归分析,得到回归方程为:

$$\begin{aligned} Yd = & 0.263 25 + 9.336 51X_1 + 0.013 011X_2 + \\ & 5.004 58X_3 + 2.602 86 \times 10^{-3}X_1X_2 + 29.327 86X_1X_3 + \\ & 2.681 63 \times 10^{-4}X_2X_3 - 190.829 50X_1^2 - 1.438 32 \times 10^{-4}X_2^2 \\ & - 69.583 9X_3^2 \end{aligned}$$

从方差分析表6中可以看出,模型在  $\alpha=0.01$  水平上回归显著;同时,一次项、平方项、交叉项均对响应值有显著性影响。模型可信度分析见表7,其中

复相关系数的平方  $R^2 = 0.989\ 5$ , 说明模型可以解释 98.95% 实验所得 PVA 降解率的变化, 表明方程拟合较好。本设计实验中  $CV=2.79\%$ , 较低, 说明实验操作可信。综上说明回归方程给 PVA 降解率的变化提供了一个合适的模型。

表 6 模型方差分析

Table 6 NOVA for the full quadratic model

变量	平方和	自由度	F-Value	p-value prob> F
模型	0.21	9	73.48	<0.000 1
$X_1$	$1.46 \times 10^{-3}$	1	4.65	0.067 9
$X_2$	$2.40 \times 10^{-4}$	1	0.76	0.411 1
$X_3$	$1.31 \times 10^{-3}$	1	4.17	0.080 4
$X_1X_2$	$1.33 \times 10^{-5}$	1	0.042	0.843 1
$X_1X_3$	$1.69 \times 10^{-3}$	1	5.36	0.053 8
$X_2X_3$	$4.32 \times 10^{-7}$	1	$1.37 \times 10^{-3}$	0.971 5
$X_1X_1$	0.025	1	77.96	<0.000 1
$X_2X_2$	0.13	1	415.38	<0.000 1
$X_3X_3$	0.031	1	97.22	<0.000 1

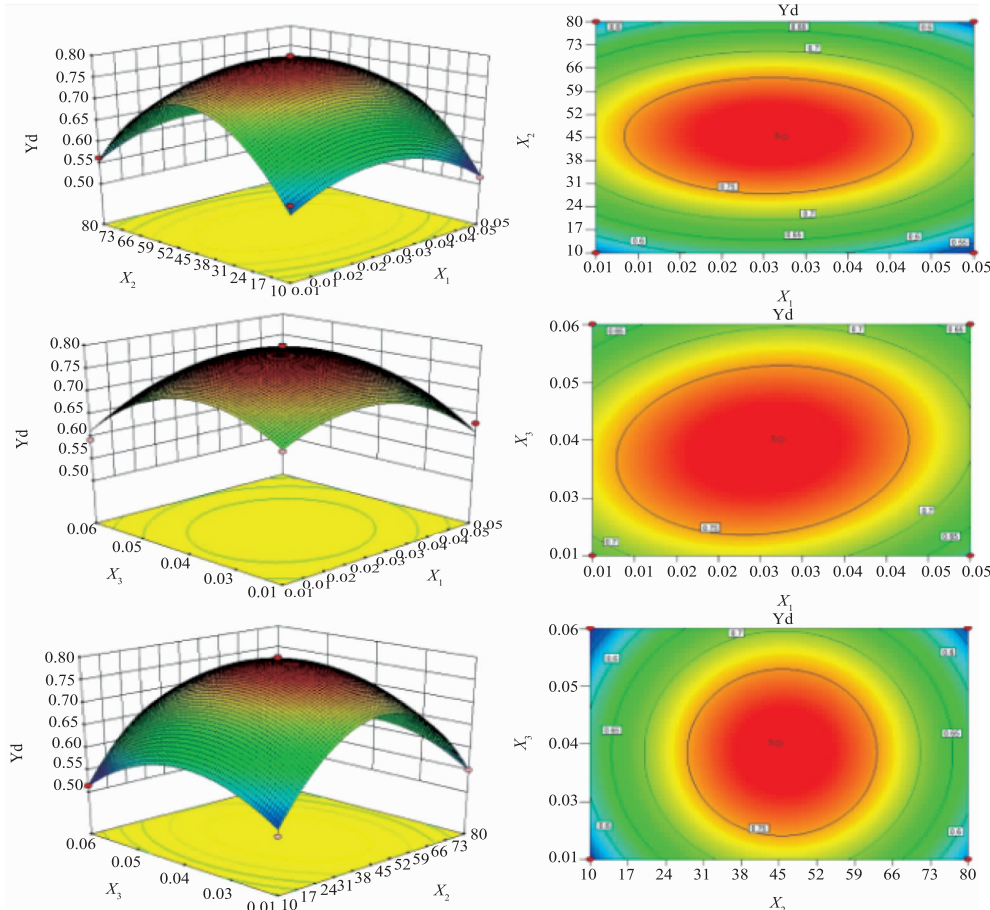


图 4 响应面立体分析图及对应等高线图

Fig. 4 Response surface plot and contour plot of central composite experiment

表 7 模型的可信度分析

Table 7 Fit statistics for the model

指标	数值
复相关系数 $R^2$	0.989 5
校正后的 $R^2$	0.976 1
模型误差的平方根	0.018
$Y_d$ 的变异系数 CV/%	2.79

**2.5.2 响应面分析及最优浓度的确定** 通过回归方程分析得到极大值所对应主要因素  $X_1, X_2, X_3$ , 即 Yeast-Extract、 $(\text{NH}_4)_2\text{HPO}_4$  和  $\text{CaCl}_2 \cdot 2\text{H}_2\text{O}$  的质量浓度分别为 0.04、48.42、0.06 g/L, 此时 24 h 后的 PVA 降解率最高, 为 80.84%。以确定的主要因素质量浓度配制培养基, 分三批次, 24 h PVA 降解率平均为 79.76%, 与预测值基本相符。PVA 降解酶活力大大提高, 降解周期缩短至 36 h 内。

### 3 结语

通过富集驯化,得到一个快速降解培养基中PVA1799组分的混合菌系SH-TD,从中分离出三种纯菌,它们分别是SH1 (*Aeromonas* sp.),TD5 (*Acinetobacter* sp.)和TD33 (*Pseudomonas* sp.)。

采用响应面分析法对PVA降解菌降解PVA的发酵培养基进行优化,首先运用Plackett-Burman法确定出Yeast-Extract、 $(\text{NH}_4)_2\text{HPO}_4$ 和 $\text{CaCl}_2 \cdot 2\text{H}_2\text{O}$ 为重要影响因素;然后通过最陡爬坡实验逐步改变

三者的质量浓度,逼近中心点;最后采用Box- Behnken设计和Design-Expert软件分析确定出主要因素的最优质量浓度,得到最佳发酵培养基组分(g/L)为:PVA1799 1,Yeast-Extract 0.04, $(\text{NH}_4)_2\text{HPO}_4$  48.42, $\text{KH}_2\text{PO}_4$  0.02, $\text{K}_2\text{HPO}_4$  1.6, $\text{MgSO}_4 \cdot 7\text{H}_2\text{O}$  0.05, $\text{FeSO}_4 \cdot 7\text{H}_2\text{O}$  0.02, $\text{CaCl}_2 \cdot 2\text{H}_2\text{O}$  0.06, $\text{NaCl}$  0.02;pH 7.5。此时24 h后的PVA降解率最高,为80.0%。降解效率与原初始发酵培养基相比提高了1.7倍。PVA降解酶总酶活大大提高,为进一步研究打下了坚实的基础。

### 参考文献:

- [1] Larking D M,Crawford R J,Christie G B Y,et al. Enhanced degradation of polyvinyl alcohol by pycnoporus cinnabarinus after pretreatment with fenton's reagent[J]. **Applieal and Environmental Microbiology**,1999,65(4):1798-1800.
- [2] Chiellini E,Corti A,D'Antone S,et al. Biodegradation of poly(vinyl alcohol) based materials[J]. **Progress in Polymer Science**,2003,28(6):963-1014.
- [3] 鞠喜,堵国成,陈坚.金属离子和醇类对混合菌产聚乙烯醇降解酶的影响[J].工业微生物,2008,38(2):15-19.  
JU Xi,DU Guocheng,CHEN Jian. Effect of metal ions and alcohols on PVA-degrading enzyme produced by mixed baeteria[J]. **Industrial Microbiology**,2008,38(2):15-19.(in Chinese)
- [4] Suzuki T,Ichihara Y,Yamada M,et al. Some characteristics of *Pseudomonas* O-3 which utilizes polyvinyl alcohol [J]. **Agricultural and Biological Chemistry**,1973,37(4):747-756.
- [5] Sakazawa C,Shimao M,Taniguchi Y,et al. Symbiotic utilization of polyvinyl alcohol by mixed cultures [J]. **Appl Environ Microbiol**,1981,41(1):261-267.
- [6] Risse W,Grubbs R H. A novel route to block copolymers by changing the mechanism from living ring-opening metathesis polymerization of cyclic olefins to aldol condensation polymerization of silyl vinyl ethers [J]. **Macromolecules**,1989,22(4):1558-1562.
- [7] Mori T,Sakimoto M,Kagi T,et al. Isolation and characterization of a strain of *Bacillus megaterium* that degrades poly (vinyl alcohol)[J]. **Bioscience Biotechnology and Biochemistry**,1996,60(2):330-332.
- [8] Kim B C,Sohn C K,Lim S K,et al. Degradation of polyvinyl alcohol by *Sphingomonas* sp. SA3 and its symbioite [J]. **Journal of Industrial Microbiology & Biotechnology**,2003,30(1):70-74.
- [9] Kim M N,Yoon M G. Isolation of strains degrading poly (vinyl alcohol)at high temperatures and their biodegradation ability[J]. **Polymer Degradation and Stability**,2010,95(1):89-93.
- [10] Sakai K,Fukuba M,Hasui Y,et al. Purification and characterization of an esterase involved in poly (vinyl alcohol)degradation by *Pseudomonas vesicularis* PD[J]. **Bioscience, biotechnology, and biochemistry**,1998,62(10):2000-2007.
- [11] Finley J H. Spectrophotometric determination of polyvinyl alcohol in paper coatings [J]. **Analytical Chemistry**,1961,33(13):1925-1927.
- [12] 曹小红,蔡萍,李凡,等.利用响应面法优化 *Bacillus natto* TK-1 产脂肽发酵培养基 [J].中国生物工程杂志,2007,27(4):59-65.  
CAO Xiaohong,CAI Ping,LI Fan,et al. Medium optimization for lipopeptide produced by *Bacillus natto* TK-1 using response surface methodology[J]. **China Biotechnology**,2007,27(4):59-65.(in Chinese)